### • 中枢神经影像学 •

# 粟粒性脑结核的 MRI 诊断

张凯,金红花,周俊,王化敏,程若勤

【摘要】目的:观察粟粒性脑结核的 MRI 征象,探讨 MRI 各序列对本病的诊断价值。方法:回顾性分析 13 例临床确诊并经抗结核治疗痊愈或有效的粟粒性脑结核患者的 MRI 和相关临床资料。全部病例均行 MRI 平扫及增强扫描,1 例行 DWI 检查。结果:粟粒性脑结核多发生于大脑半球灰白质交界区,直径 $\leqslant 3$  mm。大部分结节  $T_1$  WI 呈等或稍低信号, $T_2$  WI 及  $T_2$  FLAIR 呈稍高信号或中心"靶征",伴不同程度灶周水肿,增强后呈小结节样或环形强化。部分早期未成熟结节平扫各序列均呈等信号,DWI 亦无异常发现,无灶周水肿,仅增强扫描呈小结节样强化。结论:粟粒性脑结核的 MRI 表现具有一定特征,增强扫描可发现更多病灶,是必不可少的检查手段。

【关键词】 脑疾病;结核,粟粒性;磁共振成像;诊断

【中图分类号】R445.2; R529.3 【文献标识码】A 【文章编号】1000-0313(2012)10-1069-04

MRI diagnosis of cerebral miliary tuberculosis ZHANG Kai, JIN Hong-hua, ZHOU Jun, et al. Radiology of Department, the People's Hospital of Tongcheng, Hubei 437400, P. R. China

[Abstract] Objective: To study the MRI features of cerebral miliary tuberculosis, and to investigate the diagnostic value of various MRI sequences. Methods: Of 13 patients with clinically diagnosed cerebral miliary tuberculosis and cured/improved after anti-tuberculosis treatment, their MRI materials were analyzed retrospectively. All of the patients had plain and enhanced MRI, one patient had DWI. Results: Most of the cerebral miliary tuberculosis lesions located at the junctional area of white and gray matter, with the diameter ≤3mm, showing iso-intensity or slight hypo-intensity on T₁WI, slight hyper-intensity or target sign on T₂WI and T₂ FLAIR, accompanied with various degree of perifocal edema, nodular or ring-like enhancemant after contrast injection. Part of the early immature nodules showed iso-intensity in all sequences of plain MRI with neither abnormality on DWI nor perifocal edema, only tiny nodular enhancement could be revealed after contrast administration. Conclusion: Certain MRI characteristics of cerebral miliary tuberculosis could be revealed, more lesions could be displayed on enhanced images, which is indispensable for the diagnosis.

**(Key words)** Brain diseases; Tuberculosis, miliary; Magnetic resonance imaging; Diagnosis

粟粒性脑结核是颅内结核的一种特殊表现,多由体内其它部位结核血行播散而来,及时准确的诊断配合有效治疗可使其痊愈。临床上粟粒性脑结核较少见,部分表现不典型,容易误诊。本文回顾性分析了13 例临床确诊并经抗结核治疗痊愈或有效的粟粒性脑结核患者的 MRI 和相关临床资料,探讨其 MRI 特征及诊断价值,旨在提高对该病的认识。

### 材料与方法

13 例粟粒性脑结核患者中,男 7 例,女 5 例,年龄 11~52 岁。12 例临床表现为不同程度的头痛、头昏、 呕吐、低热、盗汗,以及其它部位结核症状如咳嗽、咳 痰、胸痛、颈部结节等,部分病例伴抽搐、肢体乏力;1 例仅以右颜面抽搐、左肢无力就诊。13 例患者均伴有 其它部位的结核病,其中 7 例为肺血行播散型肺结核。 全部病例均经临床确诊,9 例经抗结核治疗有效,4 例治疗后痊愈。

MRI 检查采用 GE Signa HDe 1.5T 超导磁共振仪。平扫常规行矢状面 SE  $T_1$ WI 及横轴面 SE  $T_1$ WI、FSE  $T_2$ WI 或 PROPELLER  $T_2$ WI、 $T_2$  FLAIR 序列,选择性行冠状面 FSE  $T_2$ WI,1 例行横轴面 DWI 扫描,横轴面扫描层厚 6 mm,层间距 2 mm,矩阵 $256 \times 256$ ,视野 220 mm  $\times$  220 mm。全部病例均行增强扫描,对比剂采用钆双胺,剂量 0.1 mmol/kg,增强后行矢状面、冠状面、横轴面扫描。

#### 结 果

- 1. 病灶的大小及分布
- 13 例均为全脑实质内多发散在点状病灶,包括大脑、小脑、基底节区及脑干,绝大多数位于大脑半球灰白质交界区(图 1、2),直径大多≪3 mm。
  - 2. 病灶的 MRI 特征及灶周水肿

本组病灶信号特点可分为 3 种:①等  $T_1$  等  $T_2$  信号,无灶周水肿,其中1例行DWI扫描亦呈等信号表

作者单位:437400 湖北,通城县人民医院放射科(张凯);430064 武汉,武汉科技大学附属天佑医院放射科(金红花、周俊、王化敏、程若勤)

動) 作者简介: 张凯(1957一), 男, 江苏泗洪人, 副主任医师, 主要从事

通讯作者:金红花,E-mail:jinhhua298@sohu.com

现,增强扫描呈小结节样强化(图 1)。②小片状等或稍长  $T_1$ 、长  $T_2$  信号水肿区,结核结节多不能明确分辨(少数呈稍长  $T_2$  信号位于水肿中央),增强扫描呈结节样强化(图 2)。③等或稍长  $T_1$  及  $T_2$  WI"靶征"小结节,灶周水肿轻,增强扫描呈环形强化。本组 13 例中12 例均为上述 2 种或 3 种病灶混杂,仅 1 例表现为单纯多发第一种病灶。

#### 3. 颅内其它结核感染征象及伴发征象

本组 13 例患者中 7 例伴颅底脑池和(或)脑表面脑膜明显强化,脑膜局部轻度强化 4 例。另 2 例有颞叶、基底节区小软化灶,1 例 DWI 示右侧丘脑脑梗死(图 1g)。3 例脑实质内混杂有更大的结核瘤。

#### 4. 各序列对疾病的显示情况

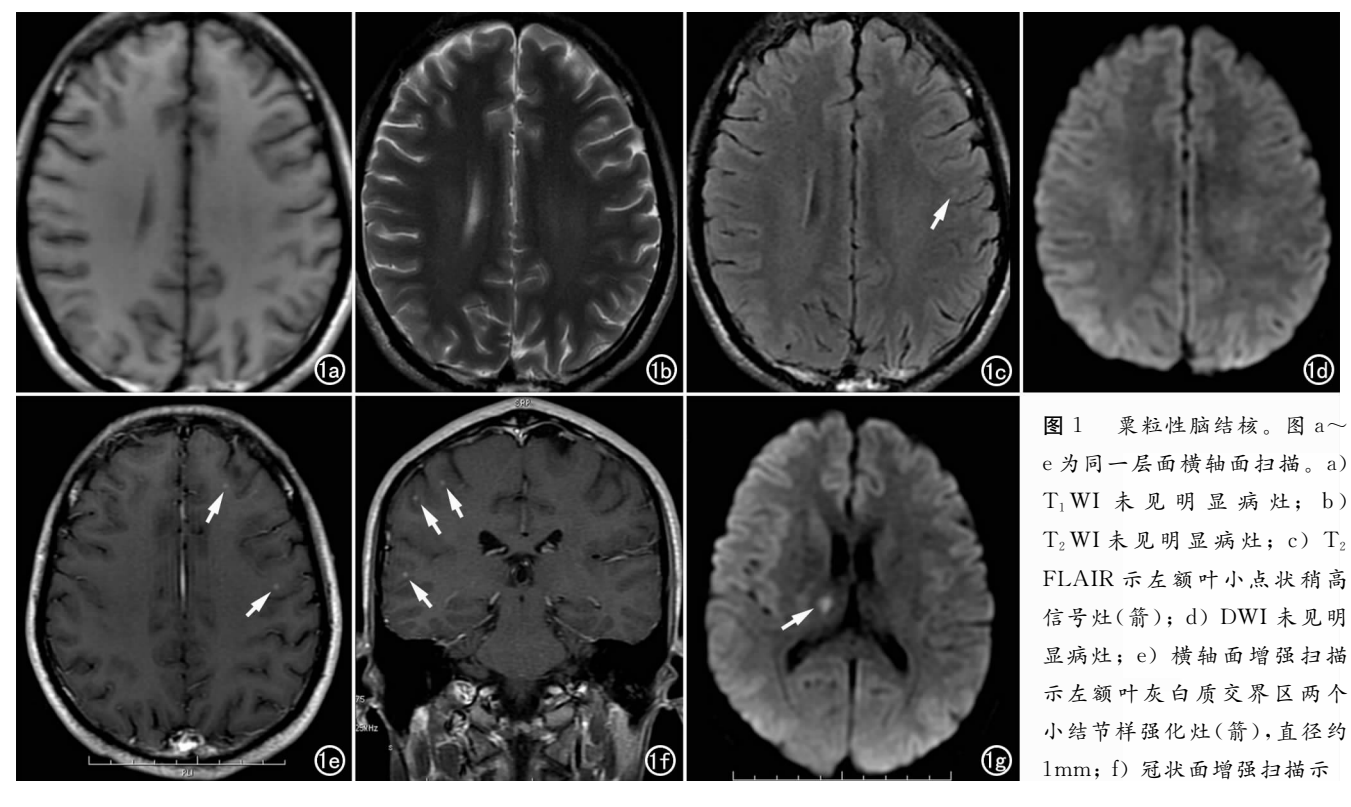
 $T_1$ WI对于等信号结节、灶周水肿轻或无水肿的病灶多不能显示。大多数无干酪坏死的结节因灶周水肿的掩盖  $T_2$ WI 亦不能显示,对中心有干酪坏死的结节  $T_2$ WI 显示较佳,而对于灶周水肿、脑梗死、缺血性改变等  $T_2$  FLAIR 及  $T_2$ WI 则有明显优势,以  $T_2$  FLAIR 更为敏感、直观(图 1c,2c)。另本组中 1 例行 DWI 扫描,结核病灶呈等信号表现,伴发的脑梗死显示清楚呈明显高信号表现(图 1d,g)。增强后几乎所有病灶均强化,其对病灶数目和边界显示明显优于  $T_1$ WI和  $T_2$ WI,对伴发的脑膜改变仅增强扫描能显示(图  $1e\sim f,2d\sim f$ )。

#### 讨论

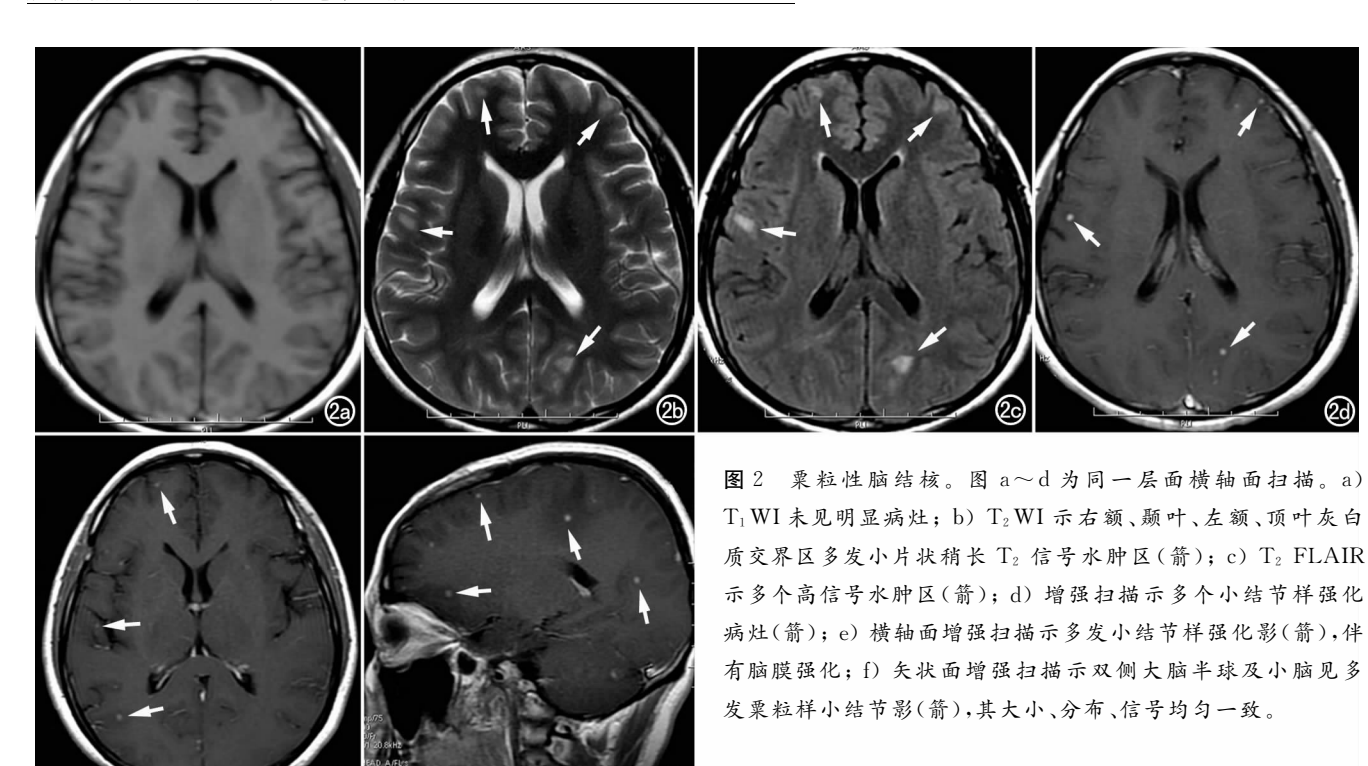
颅内结核分为结核性脑膜炎、结核瘤、结核性脑脓肿<sup>[1]</sup>及特殊类型的结核瘤等,特殊类型的结核瘤包括 粟粒性脑结核及脑膜结核瘤。粟粒性脑结核为广泛分布于脑实质内(包括幕上和幕下)的多发粟粒样小结核瘤,如针尖或粟粒一般,直径约1~2 mm<sup>[2]</sup>,其大小、分布及影像表现均匀一致,多伴肺结核或其他部位原发结核。发病机制类似于急性粟粒性肺结核,为大量结核杆菌经血行播散到脑,在脑组织中形成多发细小结核性肉芽肿,好发于青少年、年老体弱及抵抗力下将者,多起病隐匿,是脑内结核分枝杆菌感染早期阶段的特殊形式。

粟粒性脑结核病灶绝大多数位于灰白质交界区, 其原因是双侧大脑半球由颈内动脉系和椎-基动脉系 分出皮质支和中央支供血,其最终形成细小分支,接近 于终动脉,供应大脑皮层。这些细小分支动脉于皮髓 质交界处,管径非常狭窄,血流相对缓慢,结核杆菌易 沉积于此<sup>[3]</sup>。

粟粒性脑结核的 MRI 信号特点与其病理密切相 关<sup>[4]</sup>,其 MRI 表现取决于有无灶周水肿及病灶是否发 生干酪样变。据此笔者将本组病例病灶的 MRI 信号 特点归纳为 3 种。根据结核结节中心在病理上有无干 酪坏死而将其分为成熟结节和未成熟结节,前两种 MRI 信号特点者为未成熟结核结节,第三种为成熟结



右侧额颞叶灰白质交界区多个小结节样强化灶(箭); g) 横轴面 DWI 示右侧丘脑高信号梗死灶(箭)。



核结节,本组病灶绝大多数为未成熟结核结节。病理 上当结核杆菌随血液沉积在脑组织中,即引起局限性 结核性脑炎,早期以炎性渗出为主(中性粒细胞和巨噬 细胞),胶原纤维含量少[5],形成较小的增生性、未成熟 的结核结节,多数灶周水肿较重,此时 MR 平扫主要 表现为脑内广泛分布大小不等的长 T1、长 T2 信号水 肿区,结核结节在灶周水肿中多不能分辨,只在增强扫 描中才能显示结节,表现为大小接近、分布均匀、明显 强化的小结节位于水肿的中心,此即典型的未成熟结 节(本组第二种信号特点)。本组第一种信号表现文献 报道较少, 笔者认为其为粟粒性脑结核超急性期, 推测 其平扫各序列均呈等信号、无灶周水肿的原因可能为 两种,一是其为局限性脑炎的最早期阶段,病理上的结 核结节还未形成,炎性渗出刚刚开始,范围极小,还不 足以为 MRI 显示或部分仅在 T<sub>2</sub> FLAIR 上呈稍高信 号(图 1c);二是结节位于皮质区,此时只有增强扫描 才能显示病灶。当病变未能得以控制而机体有较强的 变态反应时,渗出病变则向增生或坏死转变[5],从而导 致成熟结核结节的形成和干酪样病变的发生,MRI上 表现为 T。WI"靶征"小结节——中心类脂质的干酪样 物质构成了靶心,呈等或稍长 T1、稍短或等 T2 信号, 周边的炎性肉芽组织为长 T1、长 T2 信号,最外层由纤 维母细胞逐渐产生的胶原纤维构成,增强扫描呈环形 强化。此即本组第三种 MRI 表现。成熟结核结节周 围脑实质的炎性反应减轻或消失,故水肿较轻。本组 病灶以未成熟结节多,仅5例混杂少量成熟结节。

结核杆菌亦可血行播散到脑膜或室管膜下,脑膜

附近粟粒性结节直接蔓延至脑膜,形成结核性脑膜炎,在蛛网膜下腔产生大量的炎性渗出物,沉积于脑底池,包括鞍上池、环池、四叠体池和外侧裂<sup>[6]</sup>。本组7例伴颅底脑池和(或)脑表面脑膜明显强化,脑膜局部轻度强化4例。脑缺血性梗死也是常见的并发症之一,常位于基底节区,由血管受压或小的穿支动脉闭塞引起。本组中1例见右侧丘脑梗死,2例伴有颞叶、基底节区小软化灶。另外有些病例由于结核在脑中病程不同,混杂有较大的结核瘤。

本组病例表明:在各序列扫描中,增强扫描对病灶的显示最佳[7],其优势主要有如下几个方面:①发现病灶。本组中1例仅以右颜面抽搐、左肢无力疑脑梗塞而就诊,平扫及 DWI 仅见右侧丘脑梗死(图 1a~d)。因患者年龄较轻,为排除其它而行增强扫描,发现大脑皮髓质交界区及小脑、脑干多发平扫未发现的小结节而疑诊为结核(图 1e~f),后经临床检查发现肺血行播散型肺结核,最终结合其它相关检查而确诊。②发现更多病灶。本组有7例平扫虽见多个水肿区,但增强扫描显示病灶数目更多。③清楚的显示结核结节。④显示脑膜炎等其它伴发病变。另外,T2 FLAIR 对结节的灶周水肿显示特别敏感,T1 WI 对病灶的显示最差,病灶多呈等信号或与呈稍低信号与灰质相混而显示不清。

DWI 是目前唯一无创反映活体组织内水分子扩散运动的 MR 功能成像方法,其成像的基础是自由水分子的随机运动。当水分子运动受限、扩散速度减慢时,DWI 信号增高。粟粒性脑结核未成熟结节早期以

渗出为主,灶周水肿为血管源性水肿,其单位体积内细胞密度并未增加,水分子运动未受限,因此 DWI 呈等信号表现。成熟的结核结节以增生及干酪样病变为主,其细胞结构较紧密,但其单位体积内细胞数量并没有明显增加,这与文献报道其 DWI 呈等或稍高信号相符。而对于伴发的急性脑梗死,因细胞毒水肿致水分子扩散受限,DWI 呈明显高信号。本组病例因 DWI 扫描病例数少,其在粟粒性脑结核诊断中的作用,还有待进一步研究。

粟粒性脑结核需与多发粟粒性脑转移瘤、脑囊虫病、脑血吸虫病、多发脑脓肿等鉴别。乳腺癌、甲状腺癌等少数肿瘤脑转移时常表现为多发粟粒样小结节,有时鉴别困难,恶性肿瘤脑转移发病年龄偏大、常有晚期肿瘤病史,而粟粒性脑结核常有其它部位结核、有脑膜增厚和强化的脑膜炎表现,结合脑脊液检查等可鉴别。脑囊虫壁薄而光整,观察到头节有诊断意义。血吸虫性肉芽肿常多个聚集成团,增强扫描结节样或环形强化,大小不一,结合疫区生活史及血清免疫学检查不难鉴别。多发脑脓肿常数目较少,水肿重,可有环环

相通征象。

总之,MRI 检查能清楚显示脑内粟粒性结核灶, 为临床诊断和疗效观察提供可靠依据,具有一定特征 性。增强扫描可发现更多病灶,是必不可少的检查手 段。

#### 参考文献:

- [1] 白人驹. 医学影像诊断学[M]. 北京:人民卫生出版社,2001:92-94.
- [2] 陈唯唯,陈辉,漆剑频,等. 脑实质多发结核瘤的 MRI 诊断[J]. 放射学实践,2003,18(9):632-634.
- [3] 彭如臣,沈秀芝,高焕峰,等. 粟粒性脑结核病的 MRI 特征[J]. 中华放射学杂志,2006,40(12):1254-1255.
- [4] 邢增宝,陈旺生,李建军,等. 粟粒性脑结核病的 MRI 诊断[J]. 中国医学影像技术,2009,26(8):1364-1366.
- [5] 李甘地. 病理学[M]. 北京:人民卫生出版社,2001:434-435.
- [6] 周文辉,沈继平,周进,等. 多发脑结核瘤的 MRI 诊断[J]. 中国 CT 和 MRI 杂志,2005,3(1):18-20.
- [7] 周晶,刘鹏飞. 粟粒性脑结核瘤与脊髓结核瘤 MRI 表现[J]. 实用诊断与治疗杂志,2010,24(8):789-790.

(收稿日期:2011-09-28 修回日期:2012-05-11)

经验介绍。

# GE Signa Excite 1.5T 磁共振扫描仪故障分析

陈佳杰,朱小飞

【中图分类号】R445.2 【文献标识码】D 【文章编号】1000-0313(2012)10-1072-01

故障现象 GE Signa Excite 1.5T 磁共振开机后,扫描体模时发现图像信噪比低(图 1)。自动预扫描患者时出现伪影(图 2)。改为手动预扫描发现图像存在很大的噪声。在运行约20min或待机较长一段时间后恢复正常。

故障分析 信噪比的大小与扫描参数有着极为密切的关系。由于每次都是常规对仪器进行正常操作,不会特意改变扫描参数,可以排除软件应用的错误。进一步分析功能模块上的

某个硬件,进入软件系统,找出 log 文件,逐一寻找 error。

故障检修 自动预扫描体模后,改手动预扫描,发现在中心频率周围有很大的噪声(图 3)。在查阅 CERD log 文件时发现一类关于 AIME 的 error. Error 2236345: CERD DIAGS-

图 1 GE 1.5T 磁共振刚开机后,扫描体模时图像信噪比很低。 图 2 自动预扫描检查头部时出现伪影。 图 3 手动预扫描时,发现中心频率的周围有很多噪声。

AIME A Port Memory Failure. AIME A Port Memory (real) has failed the pattern test. FRU(s): CERD Digital Board. 根据以上分析,故障现象和 CERD 模块有关联,清理并重置此模块,正常扫描一天后第二天又出现相同的问题。重新换了一块CERD 模块后,扫描正常,log 中再未出现此类 error。

(收稿日期:2011-08-29)

作者单位;710038 西安,第四军医大学附属唐都医院放射科作者简介:陈佳杰(1986一),男,四川成都人,工程师,主要从事医疗仪器的维护及图像后处理工作。